

ПРОВ 2010

АКАДЕМИЯ НАУК УКРАИНСКОЙ ССР
ОРДENA ТРУДОВОГО КРАСНОГО
ЗНАМЕНИ
ИНСТИТУТ БИОЛОГИИ ЮЖНЫХ
МОРЕЙ им. А. О. КОВАЛЕВСКОГО

А. КОВАЛЕВСКИЙ,

**РАДИОХЕМО –
ЭКОЛОГИЧЕСКИЕ
ИССЛЕДОВАНИЯ
В СРЕДИЗЕМНОМ
МОРЕ**

МАЙ–ИЮЛЬ 1972 г.

70-й РЕЙС НІС «АКАДЕМІК

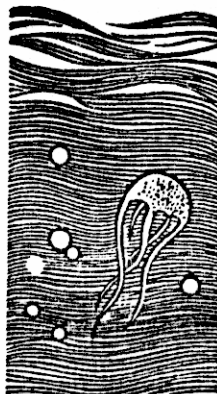
«НАУКОВА ДУМКА»

КІЕВ - 1975

Інститут біології
южних морей АН УРСР

БІБЛІОГРАФІЯ

№ 25812



Обращает на себя внимание большое количество сестона на станции I3, расположенной в эстуарии реки По. Вероятно, сильное течение реки уносит нефтяную пленку далеко в море, обилие органики и биогенных элементов создает благоприятные условия для развития почти чистой культуры эвригалинного эпипланктона веслоногого рака *Acartia clausi*.

На остальной акватории исследования сохраняются средние величины сестона порядка $0,01\text{--}0,05 \text{ см}^3/\text{м}^2$ (Адриатическое, Ионическое моря и побережье Африки). Наряду с отмеченными выше организмами основная биомасса здесь представлена моллюсками *Pteropoda*, личинками моллюсков *Gastropoda* и *Lamellebranchiata*, *Amphipoda*, *Decapoda*, икрой и личинками рыб.

Таким образом, гипонейстон, собранный в загрязненных и относительно чистых от нефтепродуктов районах, имеет качественные и количественные отличия и является хорошим биоиндикатором загрязнения водоема.

Л И Т Е Р А Т У Р А

1. Зайцев Ю.П. Морская нейстонология. К., "Наукова думка", 1970.
2. Поликарпов Г.Г., Зайцев Ю.П. Экологические процессы и охрана живой природы моря. — В сб. Радиоэкологические исследования Средиземного моря. К., "Наукова думка", 1970.
3. Polikarpov G.G. et al. General features of the concentration processes of radioactive substances by hydrobionts in different seas of the World ocean. Radioecological Concentration Processes, Pergamon Press, London, 1967.

L.I.Sazhina, A.G.Benzhitsky

DYNAMICS OF HYPONEUSTON DISTRIBUTION IN THE WESTERN PART OF THE MEDITERRANEAN SEA

С и м м е г у

Sediment volume and main mass forms were determined in hyponeuston samples taken by the trawl MNT. The areas of the sea surface maximum pollution by petroleum products are characterized by minimum biomasses of seston ($0,003\text{--}0,007 \text{ cm}^3/\text{m}^2$).

Л.И.Сажина, Э.П.Балдина

РАСПРЕДЕЛЕНИЕ СЕСТОНА НА СУТОЧНЫХ СТАЦИЯХ СРЕДИЗЕМНОГО МОРЯ

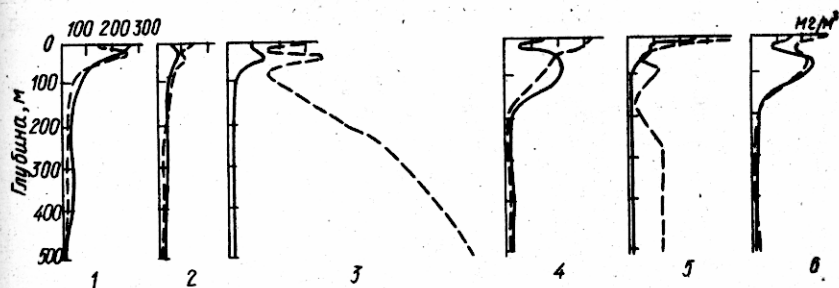
Исследование зоопланктона Средиземного моря интересно в сравнительном аспекте. Большой вклад в накопление количественных сведений о биоструктуре этого бассейна внесли исследования Института биологии южных морей АН УССР, начатые с 1958 г. [1].

Данные по сетному сестону, полученные на борту экспедиционного судна в полевых условиях, позволяют получить представительные количественные оценки развития зоопланктона.

Основной упор в 70-м рейсе нис "Академик А.Ковалевский" был сделан на изучение суточных вертикальных перемещений зоопланктона. На семи суточных станциях в разных районах моря собраны пробы замыкающейся сетью Джеди диаметром входного отверстия 36 см с фильтрующимся конусом из мельничного сита № 49. Водная толща облавливалась от поверхности до 500 м по стандартным горизонтам: 0-10; 10-25; 25-50; 50-100; 100-200; 200-300; 300-500. Пробы концентрировали и фиксировали 4%-ным формалином, после чего волюменометром Яшнова определяли объем сестона и под микроскопом МБС-1 выясняли наличие руководящих форм.

Анализ данных (табл. I) показывает, что на большинстве станций верхний 100-метровый слой характеризуется максимальным количеством сестона. Ниже этого слоя наблюдается резкое его уменьшение. Исключение составляют станции 59 (Тирренское море) и 48 (Балеарское море).

Картина вертикального распределения сестона в целом обычна для Средиземного моря: в течение суток происходит перераспределение сестона. В середине дня максимум сестона находится в слое 10-25 м, концентрируясь к поверхности к середине ночи (рисунок).



Вертикальное изменение сестона в зависимости от времени суток:

1 - Ионическое море, ст.21; 2 - Тирренское море, ст.23; 3 - Тирренское море, ст.59; 4 - Лигурийское море, ст.27; 5 - Балеарское море, ст.48; 6 - Тунисский пролив, ст.86.
(Сплошная линия - день; штриховая - ночь.)

Увеличение сестона в ночное время к глубине 300-500 м на станции 59, вероятно, связано с подъемом к поверхности батипланктонных организмов, образующих в Тирренском море второй глубинный максимум численности и биомассы [4]. Трудно дать хорошо аргументиро-

Таблица I

Вертикальное изменение сетного сестона, мг/м³

Район	Ионическое море			Тирренское море			Лигурийское море			Балеарское море			Тунисский пролив		
Станции, Время суток	6 д.	21 д.	Н. н.	23 д.	59 и.	д.	27 и.	д.	48 д.	и.	д.	56 д.	и.	164 д.	294 и.
0-10		268	I47	49	I40	89	294	I40	328	245	I72I	I64	294		
10-25		245	246	66	98	99	I32	58	282	82	289	76	I84		
25-50		I40	I46	73	II8	I46	364	I73	I97	82	59	I89	I82		
50-100		96	69	57	49	54	I67	I10	I73	23	II9	273	259		
100-200		I7	37	35	32	32	I6	304	3I	9	I0	7	54	5I	
200-300		I2	56	I8	27	I0	26	579	I5	9	I	I24	36	I6	
300-500		I4	I4	I7	I7	9	I3	923	24	I6	2I	I29	I4	36	
0-200		9I	6I	47	57	5I	I27	I0I	I34	39	I48	I33	I4I		
Среднее для района в слое 0-200 м		76			7I		II4			9I			I34		

Таблица 2

Количество сестона в слое 0-200 м в разных районах Средиземного моря в сравнении с литературными данными, мг/м³

Район исследований	Данные 70-го рейса	Литературные данные
Ионическое море	71	288 (Ковалев, 1970) 72 (Водяницкий, 1961)
Тирренское море	71	84 (Ковалев, 1970) 40,5 (Водяницкий, 1961)
Лигурийское море	114	190 (Ковалев, 1970)
Балеарское море	91	-
Тунисский пролив	137	142 (Ковалев, 1971)

ванное объяснение второму увеличению биомассы ниже 200 м на станции 48 из-за отсутствия качественной обработки проб, но возможно, что это связано с системой течений этого района.

Основное поверхностное течение Средиземного моря образовано потоком вод, идущим из Атлантического океана через Гибралтарский пролив вдоль западноевропейского и африканского берегов. В районе непосредственной близости к проливу и в основной струе течений биомасса сестона может достигать больших величин [5]. Вероятно именно с этим связано увеличение биомассы сестона в западном направлении.

Полученные нами данные по количеству сестона в слое 0-200 м согласуются с литературными (табл.2) и соответствуют сезонным изменениям сестона в Средиземном море.

ЛИТЕРАТУРА

1. Водяницкий В.А. Некоторые результаты исследований Севастопольской биологической станции им. А.О. Ковалевского в Средиземном море в 1958-1960 гг. - Океанология, 1961, т.5.

2. Ковалев А.В. Некоторые данные о распределении сестона в Ионическом, Тирренском и Лигурском морях. - В кн.: Экспедиционные исследования в Средиземном море в мае-июне 1968 г. К., "Наукова думка", 1970.

3. Ковалев А.В. Распределение сестона в Тунисском проливе, в Ионическом и Эгейском морях. - В кн.: Океанографические исследования в Тунисском проливе. К., "Наукова думка", 1971.

4. Сажина Л.И. Распределение зоопланктона в западной половине Средиземного моря зимой 1960-1961 гг. - В кн.: Основные черты геол. строения, гидрол. режима и биол. Средиземного моря. М., "Наука", 1965.

5. Сажина Л.И., Балдина Э.П. Распределение зоопланктона на акватории, прилежащей к проливу Гибралтар. - В кн.: Экспедиционные исследования в Средиземном море. К., "Наукова думка", 1973.

L.I.Sazhina, E.P.Baldina

SESTON DISTRIBUTION AT DAY
STATIONS OF THE MEDITERRANEAN SEA

S u m m a r y

Biomass of net seston was determined by the volume method at 7 day stations. The upper layer of one hundred meters is characterized by the maximum amount of seston. Vertical day distribution is typical for the Mediterranean Sea.

Д.Д.Рындина

РОЛЬ ВЫСОКОМОЛЕКУЛЯРНЫХ СОЕДИНЕНИЙ БУРЫХ ВОДОРОСЛЕЙ
В ИЗВЛЕЧЕНИИ СТРОНЦИЯ-90 ИЗ МОРСКОЙ ВОДЫ

При изучении процессов концентрирования стронция-90 живыми и разлагающимися морскими растениями обнаружено, что радиостронций легко извлекается из морской воды живыми и мертвыми бурыми водорослями [17]. Предполагается, что процессы извлечения этого элемента из морской воды связаны со структурами, которые при гибели организмов разрушаются не сразу [9]. Каковы эти структуры?

По химическому составу бурые водоросли отличаются от других типов морских растений. Они содержат значительное количество (73-74%) простых и сложных углеводов (табл. I) [6].

Простые углеводы представлены сахарным спиртом-маннитом с эмпирической формулой $\text{C}_6\text{H}_{12}\text{O}_6$ - $\text{CH}_2\text{OH}-\text{CH(OH)}-\text{CH(OH)}-\text{CH(OH)}-\text{CH}_2\text{OH}$, существующим в форме двух оптических изомеров *d* (I) и *l* (II), один из которых (II) в природе не найден. Маннит является первичным продуктом фотосинтеза, аккумулируется в водорослях в больших количествах и является основным источником углерода при клеточном делении [16]. Он обнаружен в составе полисахаридов - растворимого (*Laminaria digitata*) и нерастворимого (*Laminaria hyperborea*) ламинарана в количестве 2,7 и 1,7%.

Альгиновые кислоты встречаются в водорослях в виде нерастворимых (Ca и Mg) и растворимых солей. Первые вместе с другими по-